

BULLETIN DES RELEVÉS NIVOMÉTRIQUES ET DES PROJECTIONS HYDROLOGIQUES DU YUKON

Le 1^{er} mars 2019



Rédigé et publié par :
Direction des ressources en eau
Ministère de l'Environnement

**Yukon**

DÉDICACE

L'édition de mars 2019 du *Bulletin des relevés nivométriques et des projections hydrologiques du Yukon* est dédiée à la mémoire de Ric Janowicz (1952–2018). Hydrologue principal au ministère de l'Environnement du Yukon pendant plus de 35 ans, Ric avait à cœur de faire progresser les connaissances sur l'hydrologie en région nordique. Il a ainsi œuvré à l'élaboration et à la promotion de modèles hydrologiques adaptés aux climats nordiques afin de mieux comprendre la dynamique des débâcles du fleuve et des rivières et les risques associés aux inondations dans les zones habitées.

En ce qui a trait à l'étude de la neige, Ric a présidé à l'importante expansion du réseau des relevés nivométriques au Yukon en établissant plus de 20 nouveaux sites de surveillance permanents à différents endroits du territoire. Ric a également obtenu l'appui nécessaire pour mettre en place, dans des zones difficilement accessibles, plusieurs stations météorologiques équipées de coussins à neige, permettant ainsi de surveiller en temps réel l'accumulation de la couche neigeuse et sa dégradation durant la saison froide. Grâce à ces accomplissements, Ric a largement contribué à l'amélioration de l'efficacité des projections hydrologiques qu'il préparait dans le cadre de son travail au sein de la Direction des ressources en eau.

Nous gardons un excellent souvenir de Ric, de son dévouement sans borne dans son travail, de sa personnalité hors du commun, de son humour et de ses histoires. De surcroît, il demeurera, dans l'esprit de ses collègues, un hydrologue de renommée internationale.



Mention de source : GY

PRÉFACE

Le *Bulletin des relevés nivométriques et des projections hydrologiques du Yukon* est publié trois fois par année – au début de mars, d’avril et de mai – par la Direction des ressources en eau du ministère de l’Environnement. Le bulletin présente un sommaire des conditions météorologiques et de l’écoulement des principaux cours d’eau du Yukon durant l’hiver, ainsi que des mesures de l’épaisseur de la couche de neige et de son équivalent en eau (EEN) provenant de 57 stations. Ces données servent à évaluer les probabilités d’inondations printanières causées par des débâcles ou par un ruissellement abondant dû à la fonte printanière (débordement). Il est à noter que d’autres phénomènes, comme les pluies estivales et la fonte des glaciers, peuvent influencer considérablement les niveaux d’eau maximums annuels dans certains bassins du Yukon.

Le bulletin des relevés nivométriques est présenté dans un nouveau format et il est en constante amélioration grâce aux nouvelles technologies et aux commentaires provenant des utilisateurs et des partenaires. Les conditions météorologiques (températures et précipitations) moyennes de l’automne et de l’hiver sont présentées dans deux cartes couvrant tout le territoire. Une troisième carte présente l’équivalent en eau de la neige (EEN) relatif moyen pour 11 bassins hydrographiques (ou bassins versants). Des données météorologiques et hydrologiques complémentaires pour chaque bassin sont communiquées au moyen d’au plus cinq graphiques, selon la disponibilité des données :

- Figure A : EEN à partir de septembre à un endroit précis du bassin versant, ce qui donne un aperçu de l’évolution du couvert de neige durant l’hiver.
- Figure B : Estimation de l’EEN moyen à la fin du mois, pour l’ensemble du bassin, calculée à partir des relevés nivométriques et comparé aux données historiques, ce qui constitue un indicateur des volumes potentiels de ruissellement au printemps (en tenant compte que la sublimation de la neige, les températures de l’air et la pluie ont également une influence considérable sur le ruissellement).
- Figure C : Précipitations mensuelles moyennes (pluie ou neige), données extraites de stations météorologiques depuis octobre et comparées aux données historiques. Ces renseignements complètent ceux présentés à la figure B.
- Figure D : Degrés-jours de gel cumulés (DJGC, la somme de l’inverse des températures quotidiennes) depuis octobre et comparés aux données historiques, ce qui constitue un indicateur de la rigueur de l’hiver et de l’épaisseur du couvert de glace des rivières affectant le scénario de la débâcle printanière.
- Figure E : Estimation du débit journalier ou niveau d’eau mesurée comparé aux données historiques, ce qui donne un aperçu des conditions hydrologiques du bassin.

On peut obtenir de l’information sur le bulletin, le couvert de neige ou les projections hydrologiques en communiquant avec l’une des personnes suivantes :

Jonathan Kolot

Technologue en hydrologie

867-667-3234

jonathan.kolot@gov.yk.ca

Anthony Bier

Technologue en hydrologie

867-667-3144

anthony.bier@gov.yk.ca

Benoit Turcotte

Hydrologue principal

867-667-3223

benoit.turcotte@gov.yk.ca

Direction des ressources en eau, ministère de l’Environnement

867-667-3171 • Sans frais (Yukon, Territoires du Nord-Ouest, Nunavut) : 1-800-661-0408, poste 3171

Télécopieur : 867-667-3195 | Courriel : water.resources@gov.yk.ca

Aucun changement n’a été apporté au réseau en 2019. Le présent bulletin, tout comme les publications précédentes, est accessible à l’adresse www.env.gov.yk.ca/snowbulletin.

ISSN 1705-883X

Nous recommandons d’utiliser le titre suivant pour citer le présent document :

Bulletin des relevés nivométriques et des projections hydrologiques du Yukon de 2019, 1^{er} mars 2019

© Mars 2019

Direction des ressources en eau

Ministère de l’Environnement

Gouvernement du Yukon

C.P. 2703, Whitehorse (Yukon) Y1A 2C6

REMERCIEMENTS

Le *Bulletin des relevés nivométriques* fait partie du Programme des relevés nivométriques du Yukon, qui relève de la Direction des ressources en eau, ministère de l'Environnement, gouvernement du Yukon. D'autres organismes contribuent de manière importante au Programme et à la préparation du bulletin en fournissant des données et de l'information :

- Agent responsable de la collecte des données, Service de la conservation des ressources naturelles, département de l'Agriculture des États-Unis
- Météorologiste, Section de la gestion des feux de forêt, ministère des Services aux collectivités du Yukon, Whitehorse
- Agent responsable, Division des relevés hydrologiques du Canada, Whitehorse
- Ingénieur en gestion des eaux, Société d'énergie du Yukon
- Première Nation des Gwitchin Vuntut

Organismes collaborant avec Environnement Yukon dans le cadre du Programme des relevés nivométriques :

- Ministère de l'Environnement de la Colombie-Britannique, Division de l'intendance des eaux
- Parcs Canada, parc national et réserve de parc national du Canada Kluane
- Ministère de la Voirie et des Travaux publics du Yukon
- Ministère de l'Énergie, des Mines et des Ressources du Yukon, Direction de la surveillance de la conformité et des inspections
- Ministère de l'Environnement du Yukon, Direction des technologies et de la gestion de l'information

AVERTISSEMENT ET LIMITATION DE RESPONSABILITÉ

L'utilisateur comprend et reconnaît qu'il utilise les données à ses propres risques. Il incombe uniquement à l'utilisateur de vérifier l'exactitude, la disponibilité, la pertinence, la fiabilité, la convivialité, l'exhaustivité ou l'actualité des données.

L'utilisateur accepte les données « telles qu'elles sont » et reconnaît que le gouvernement du Yukon ne fait aucune représentation ni ne donne aucune garantie (expresses ou implicites) à l'égard de l'exactitude, de la disponibilité, de la pertinence, de la fiabilité, de la convivialité, de l'exhaustivité ou de l'actualité des données, y compris, sans s'y limiter, des garanties implicites de qualité marchande ou d'adaptation à un usage particulier, et l'absence de contrefaçon.

En ce qui a trait à l'accès aux données, l'utilisateur convient également qu'en aucun cas le gouvernement du Yukon ne sera tenu responsable (ni soumis à une obligation délictuelle ou contractuelle), d'une façon ou d'une autre, envers l'utilisateur ou une autre entité juridique pour ce qui est de l'exactitude, de la disponibilité, de la pertinence, de la fiabilité, de la convivialité, de l'exhaustivité ou de l'actualité des données, y compris, sans s'y limiter, d'une perte de revenu ou de profit, ou d'un dommage direct, indirect, spécial, fortuit ou immatériel découlant de l'utilisation des données ou lié à une telle utilisation.

COUVERT DE NEIGE ET CONDITIONS MÉTÉOROLOGIQUES SUR LE TERRITOIRE DU YUKON

L'automne et l'hiver 2018-2019 ont été beaucoup plus chauds que la moyenne historique¹ enregistrée sur l'ensemble du territoire, hormis le mois de février, qui a été plus froid que la moyenne dans presque tout le Yukon. Jusqu'à maintenant, les précipitations ont été inférieures ou bien inférieures à la moyenne historique à cause de l'effet combiné de crêtes persistantes en altitude et d'une masse d'air arctique froid et sec.

Octobre

Une série de crêtes chaudes en altitude ont maintenu les températures au-dessus de la moyenne dans tout le Yukon, la tendance changeant vers la fin du mois, laissant pénétrer un air plus frais sur le territoire. L'air plus chaud a favorisé la persistance d'averses de pluie plus tard dans la saison et, en conséquence, presque tout le sud du Yukon a reçu plus de précipitations qu'à la normale. Les chutes de neige ont commencé à s'accumuler dans le Grand Nord vers le milieu du mois, Old Crow et les sections nord de la route Dempster recevant plus de précipitations que la moyenne.

Novembre

Les crêtes chaudes en altitude ont une fois de plus dominé, quoique ponctuées de faibles tempêtes poussées par le courant-jet provenant de l'ouest. Toutes les stations du Yukon ont enregistré des températures plus chaudes que la moyenne et des précipitations en deçà ou bien en deçà de la moyenne, à l'exception de Dawson et d'Old Crow. Vers la fin du mois, une vague de chaleur a grandement contribué à la fonte du manteau neigeux dans le sud-ouest du Yukon.

Décembre

Encore une fois, les températures du Yukon ont considérablement fluctué sous l'influence de crêtes chaudes et d'air arctique frais en alternance. Au début de la deuxième semaine, une vague de chaleur a fait grimper les températures au-dessus du point de congélation dans le nord aussi loin que Dawson, tandis qu'une masse d'air arctique a fait chuter les températures dans toutes les régions juste avant Noël. À la fin du mois, le thermomètre est remonté au-dessus du point de congélation dans le sud-ouest du Yukon. De forts écarts de précipitations ont également été enregistrés, le Grand Nord et les régions du sud-ouest du Yukon recevant des précipitations supérieures à la moyenne, alors que le reste du territoire recevait des précipitations bien inférieures à la moyenne.

Janvier

Au début de janvier, un froid extrême a recouvert le centre et le nord du Yukon, les températures chutant autour de -45 °C. Dans le sud du territoire, la température était variable, le mois se terminant avec une autre hausse au-dessus du point de congélation. Une fois de plus, les températures étaient supérieures à la moyenne dans la majeure partie du territoire, à l'exception de Mayo, où des conditions proches de la moyenne historique ont été observées. Les précipitations ont été variables, Old Crow se situant à 150 % de la moyenne,

¹ Les données historiques en matière de température, de précipitations, d'équivalent en eau de la neige, de débit et de niveau d'eau n'ont pas toujours été compilées sur une période assez longue pour établir une « normale », soit des données s'étalant sur 30 ans. En conséquence, dans le présent document, il est fait état d'une moyenne historique ou, tout simplement, d'une moyenne. Les données historiques étudiées dans le cadre du présent bulletin sont toujours suffisamment étendues dans le temps pour être représentatives des conditions hydrométéorologiques récentes.

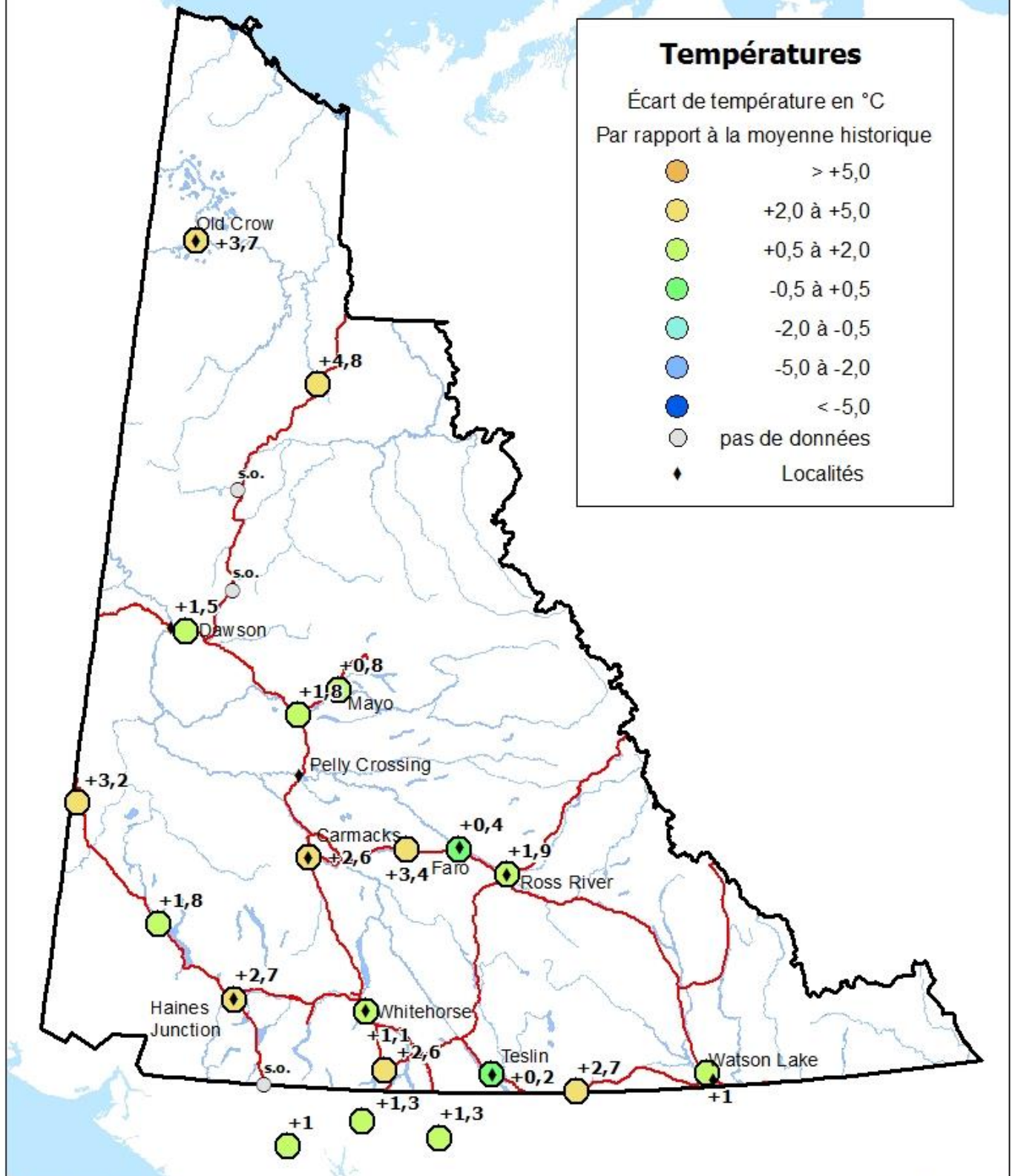
Whitehorse à 120 % et la plupart des autres stations ayant enregistré des données bien en deçà de la moyenne, avec un minimum de 8 %.

Février

Février a été marqué par du temps froid et dégagé sous l'effet de crêtes en altitude et de poussées d'air arctique. Même si la température a souvent grimpé durant le jour pour atteindre la moyenne saisonnière, les minimums de température nocturne ont oscillé entre -25 °C et -40 °C. Hormis Old Crow et certaines sections de la route Dempster, la température en février a été entre 2 et 5 °C plus froide que la moyenne. Les conditions froides et dégagées prévalant, les quantités de précipitations ont été faibles, quoique Whitehorse et Teslin aient presque atteint la moyenne historique grâce à une tempête qui a balayé la région à la fin du mois.

Anomalies des températures - oct 2018 à fév 2019

Territoire du Yukon



Map ID: ENV.522.TMP.2019-03-01

© 2019 Environment Yukon

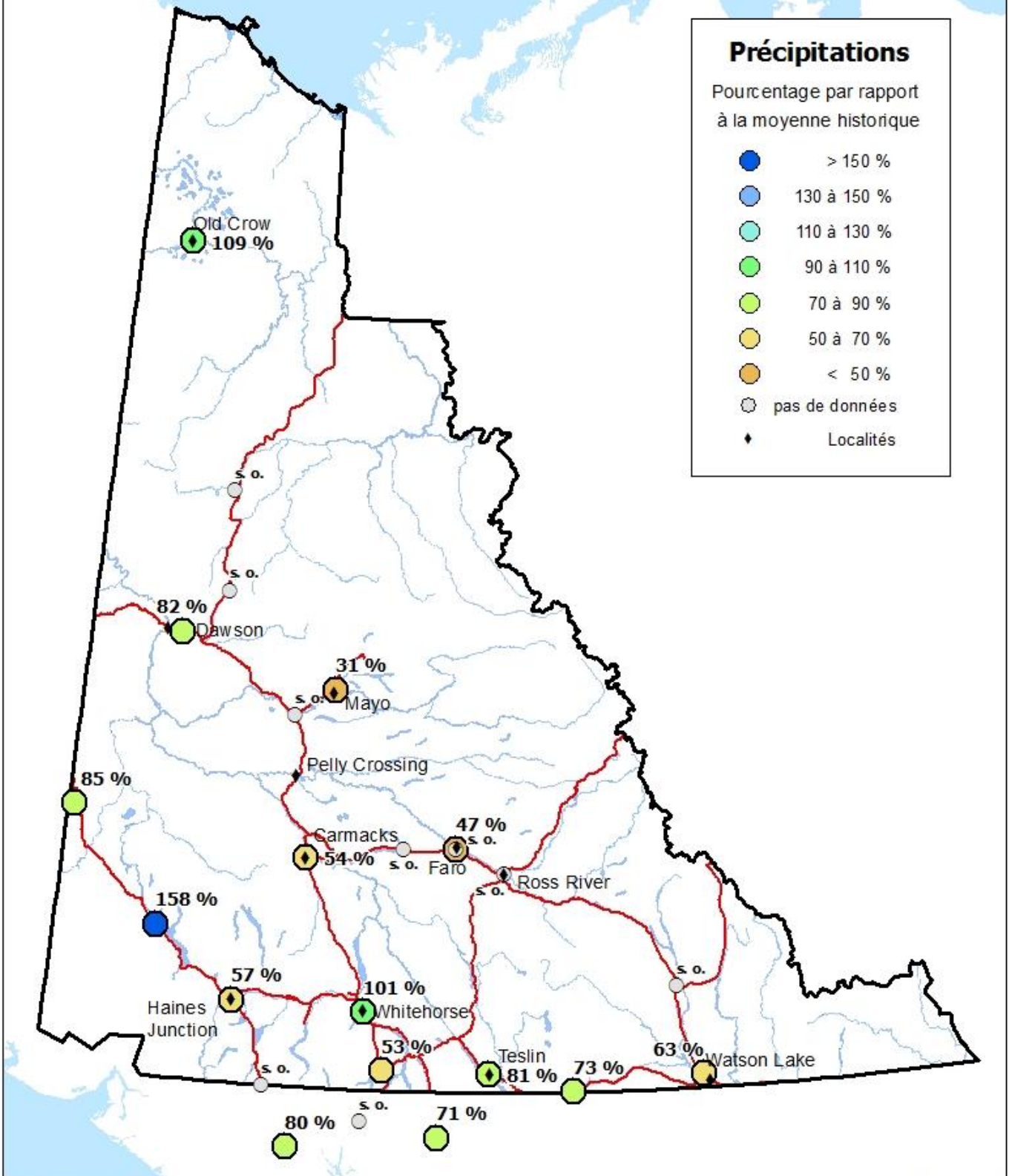
Précipitations - oct 2018 à fév2019

Territoire du Yukon

Précipitations

Pourcentage par rapport à la moyenne historique

- > 150 %
- 130 à 150 %
- 110 à 130 %
- 90 à 110 %
- 70 à 90 %
- 50 à 70 %
- < 50 %
- pas de données
- ◆ Localités

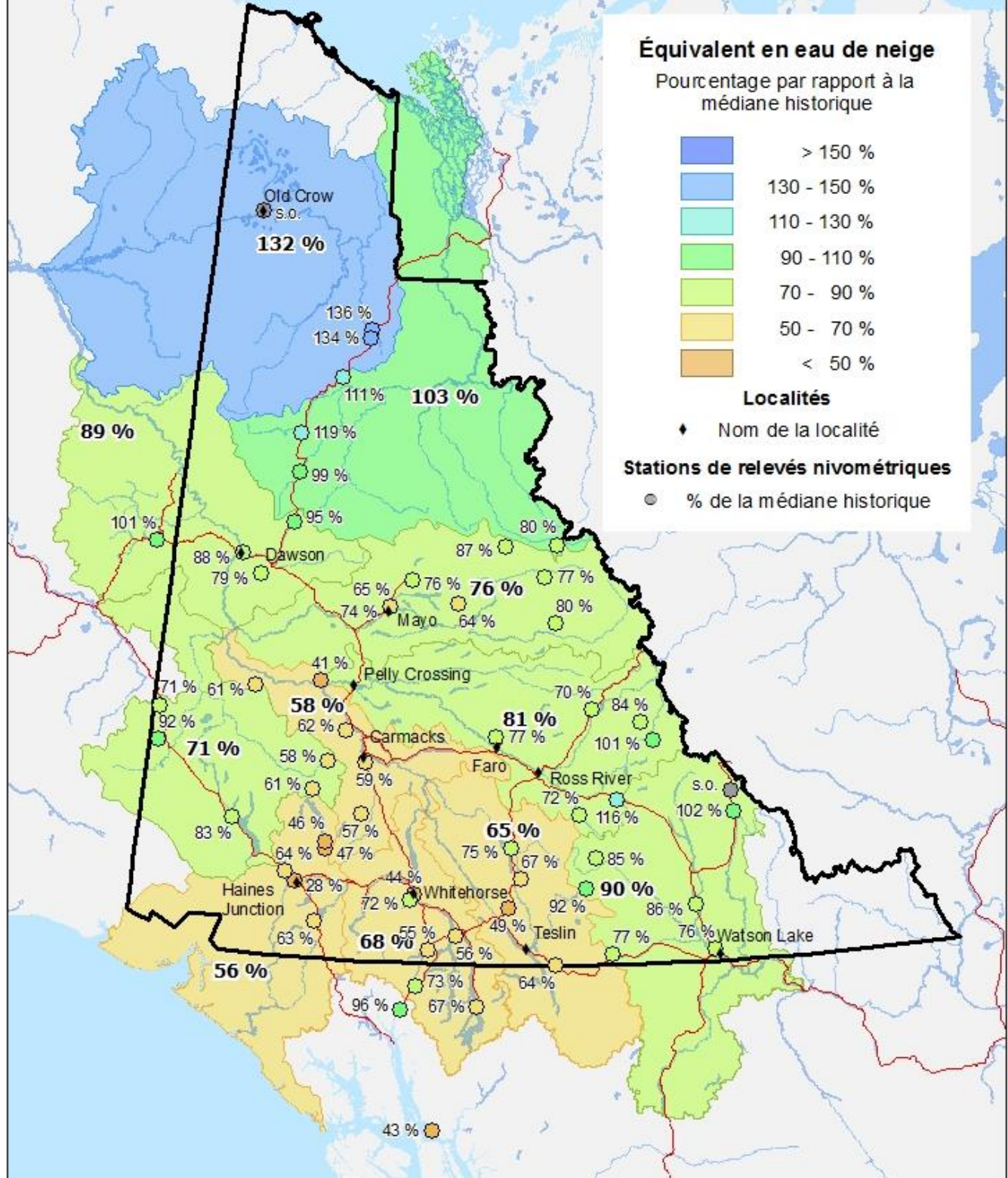


Map ID: ENV.522.PPT.2019-03-01

© 2019 Environment Yukon

Équivalent en eau de la neige – 1^{er} mars 2019

Territoire du Yukon

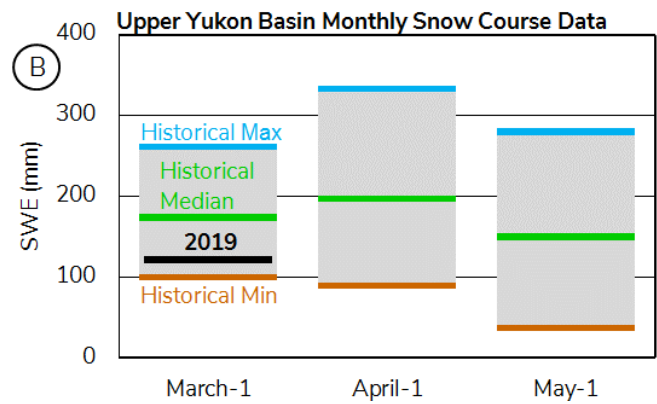
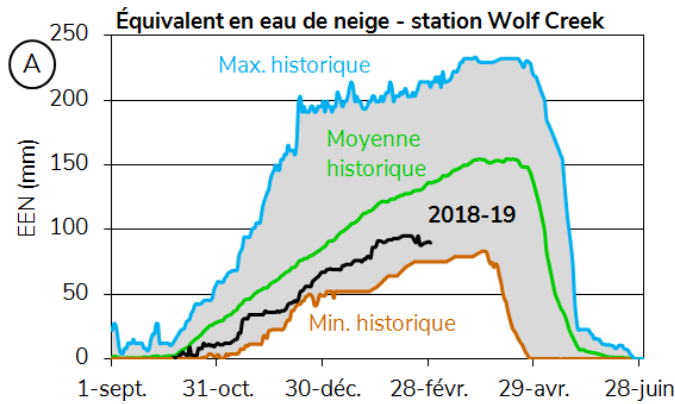


Map ID: ENV.522.2019-03-01

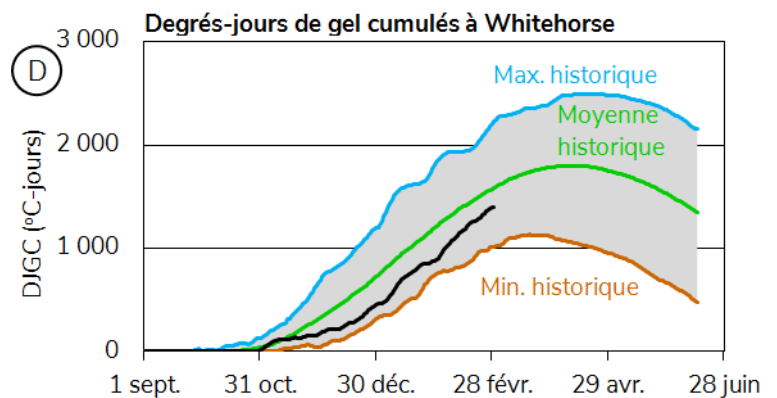
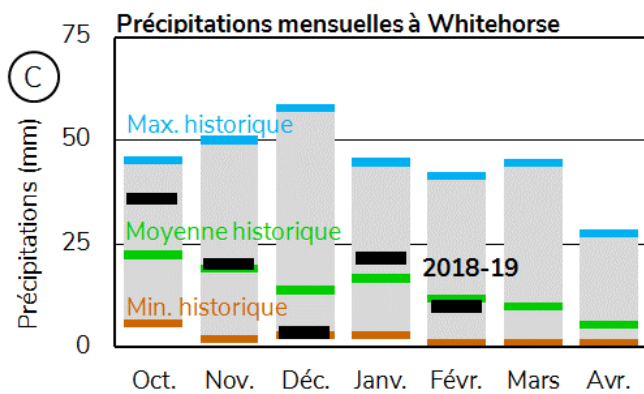
© 2019 Environment Yukon

BASSIN SUPÉRIEUR DU FLEUVE YUKON (LACS DU SUD/WHITEHORSE)

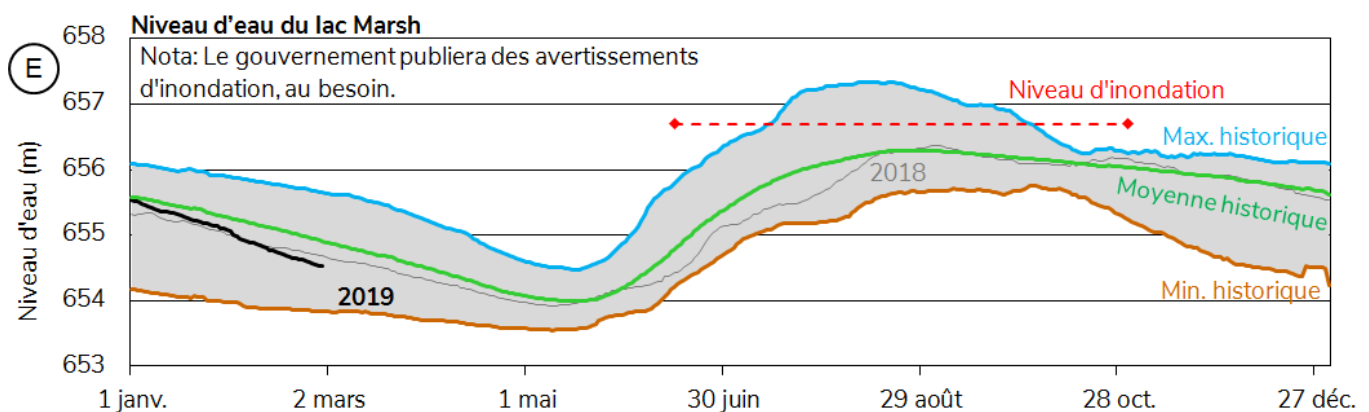
À la station subalpine Wolf Creek, les mesures indiquent que l'équivalent en eau de neige (EEN) est à **76 %** de la **moyenne historique** (figure A). La moyenne de l'EEN dans le bassin supérieur du fleuve Yukon est estimée à **68 %** de la **médiane historique**, soit **121 mm** en date du 1^{er} mars (figure B).



Les précipitations enregistrées à l'aéroport de Whitehorse durant l'automne et l'hiver font état de chutes de neige mensuelles tantôt supérieures tantôt inférieures, le cumul des précipitations se situant **près de la moyenne** le 1^{er} mars (figure C). Les degrés-jours de gel cumulés (DJGC) sont **en deçà** de la **moyenne**, à 1 670 DJGC, ce qui correspond à un hiver **plus doux qu'à l'habitude** (figure D) et laisse présager un couvert de glace **plus mince** sur les lacs et les cours d'eau.

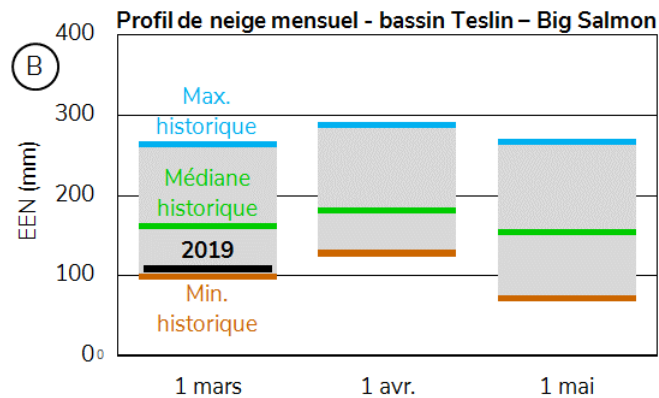


L'élévation du niveau d'eau (par rapport au niveau de la mer) du lac Marsh se situe actuellement à 0,5 m **en deçà** de la **moyenne historique** (figure E). Il est trop tôt dans la saison pour établir si le niveau d'eau de **2019** sera élevé, mais le niveau actuel et la couverture de neige **plus bas** que la **moyenne** portent à croire que les **probabilités d'inondation à la fin de l'été** sont **faibles**.

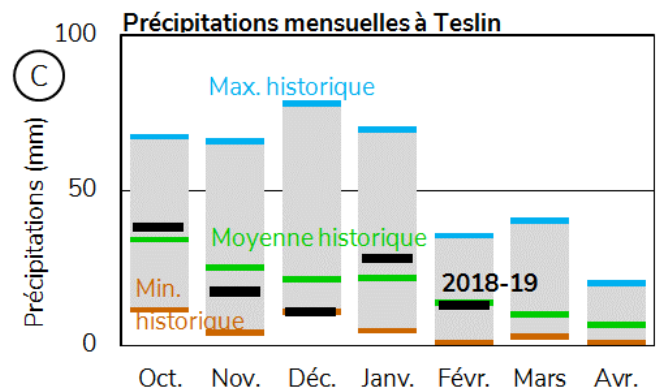


BASSIN DE LA RIVIÈRE TESLIN

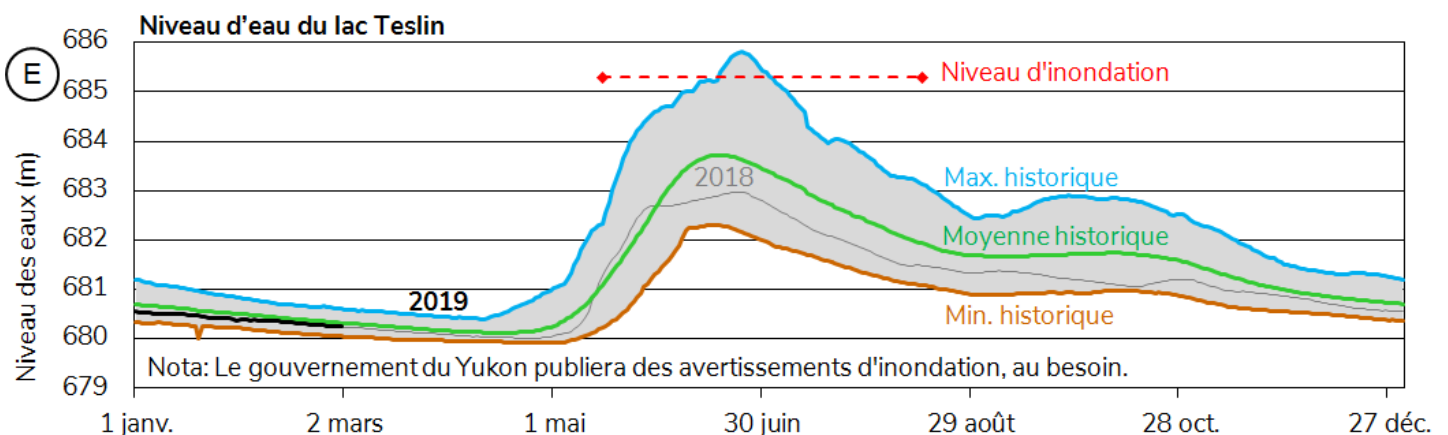
La moyenne de l'EEN dans le bassin de la rivière Teslin est estimée à **65 %** de la **médiane historique**, soit **108 mm** en date du 1^{er} mars (figure B).



Les précipitations mensuelles enregistrées à Teslin durant l'automne et l'hiver sont tantôt **supérieures** tantôt **inférieures** à la **moyenne**, le cumul des précipitations totales se situant toutefois **sous la moyenne** (figure C).

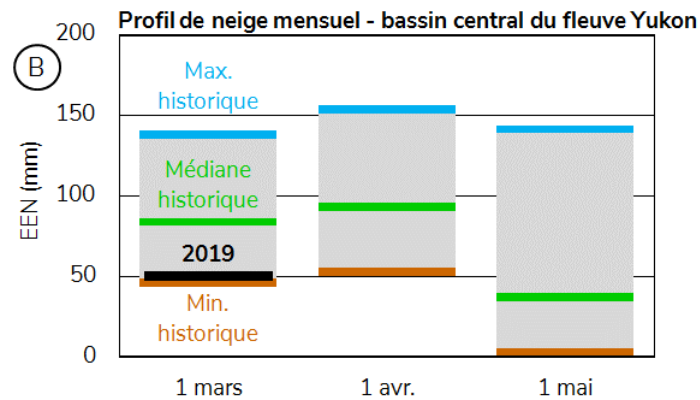


L'élévation du niveau d'eau (par rapport au niveau de la mer) du lac Teslin se situe actuellement près de la **moyenne historique** (figure E). Il est trop tôt dans la saison pour établir si le niveau d'eau de **2019** sera élevé, mais ces niveaux **près de la moyenne** et l'accumulation de neige **sous la moyenne** portent à croire que les **probabilités d'inondation cet été** sont **faibles**.

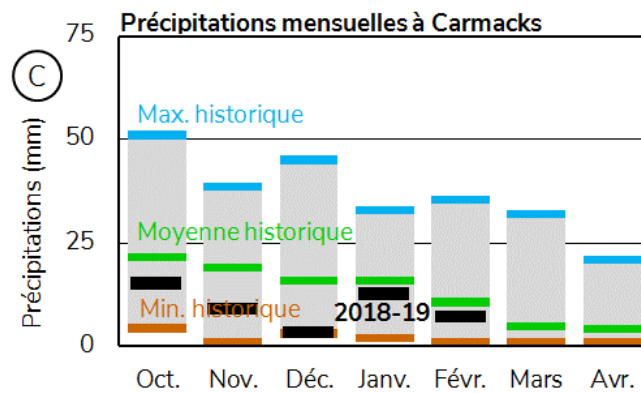


BASSIN CENTRAL DU FLEUVE YUKON (RÉGION DE CARMACKS)

La moyenne de l'EEN dans le bassin central du fleuve Yukon est estimée à **58 %** de la **médiane historique**, soit **50 mm** en date du 1^{er} mars (figure B).

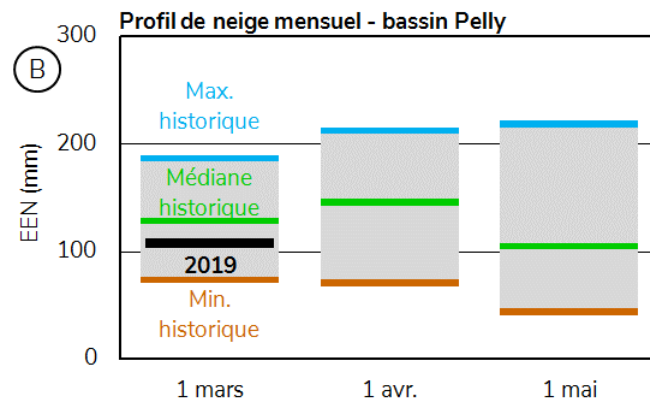


Les précipitations mensuelles enregistrées à Carmacks durant l'automne et l'hiver sont toutes **inférieures** à la **moyenne** mensuelle (figure C).

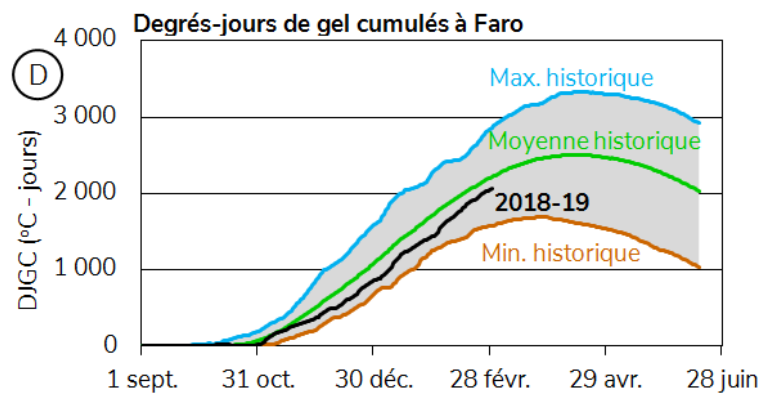
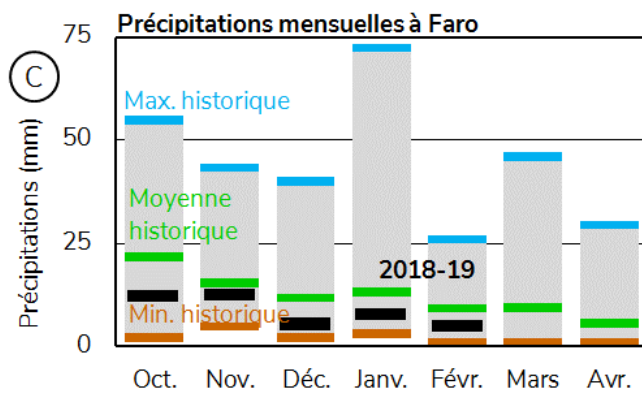


BASSIN DE LA RIVIÈRE PELLY

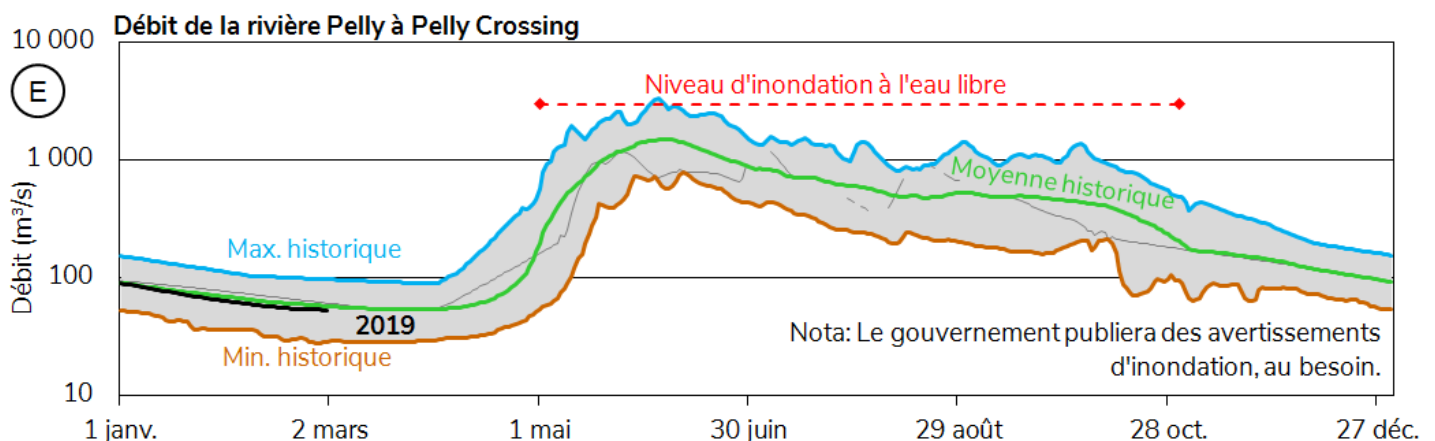
La moyenne de l'EEN dans le bassin de la rivière Pelly est estimée à **81 %** de la **médiane historique**, soit **107 mm** en date du 1^{er} mars (figure B).



Les précipitations mensuelles enregistrées à Faro durant l'automne et l'hiver sont toutes **sous** la **moyenne** (figure C). Les degrés-jours de gel cumulés (DJGC) sont **en deçà** de la **moyenne**, soit à 2 050 DJGC, ce qui correspond à un hiver **plus doux qu'à l'habitude** (figure D) et laisse présager un couvert de glace **plus mince** sur les lacs et les rivières.

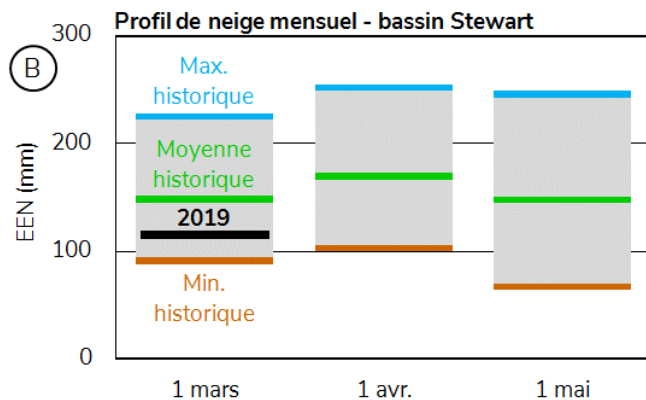
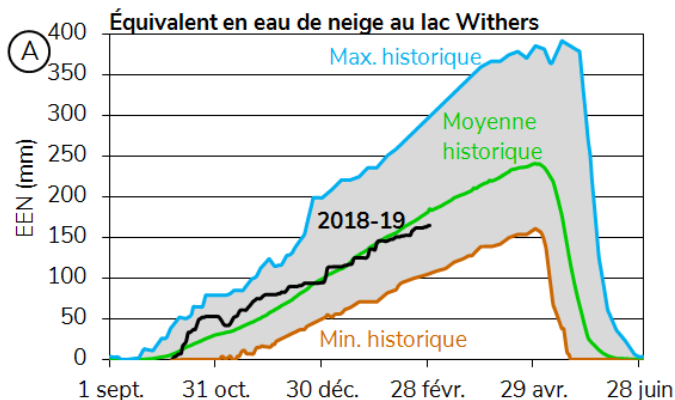


Le débit estimé de la rivière Pelly à Pelly Crossing est légèrement **sous** la **moyenne historique** (figure E). Il est trop tôt dans la saison pour établir si les niveaux d'eau de **2019** seront élevés, mais l'accumulation de neige **moindre** que la **moyenne** porte à croire que le **volume de la crue printanière** pourrait être **plus faible** que la **moyenne**.

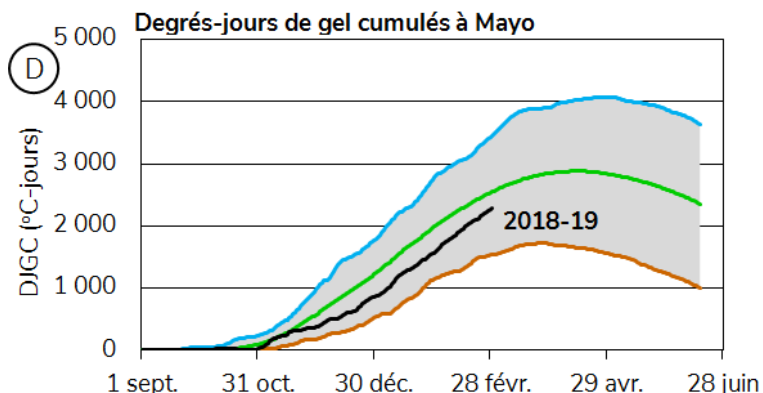
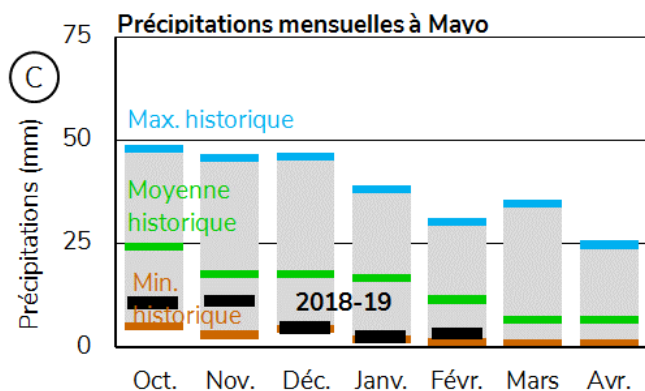


BASSIN DE LA RIVIÈRE STEWART

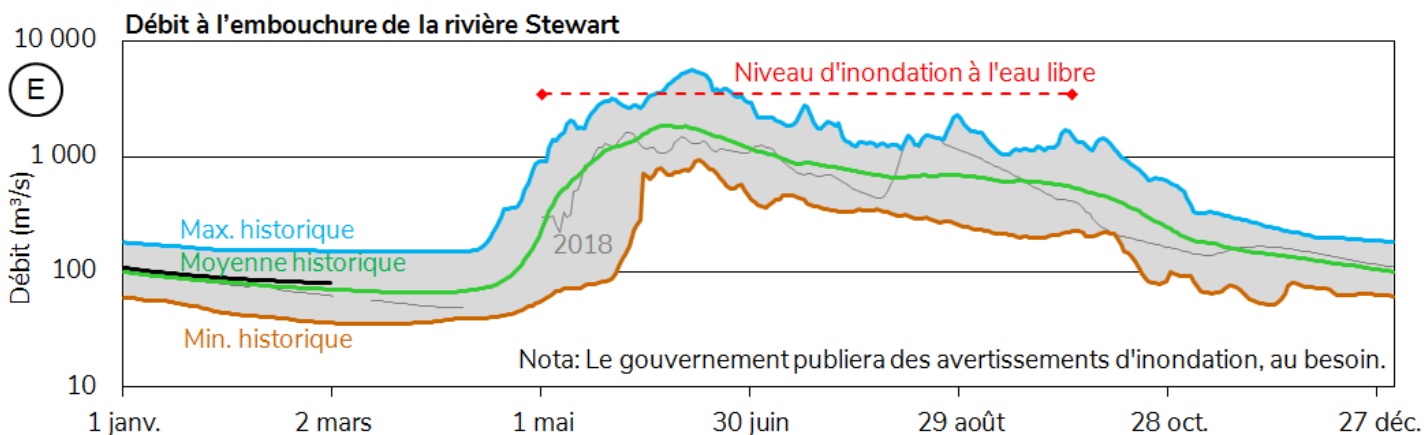
À la station météorologique Withers Lake, les mesures indiquent que l'équivalent en eau de la neige (EEN) est à **94 %** de la **moyenne historique** (figure A). Toutefois, la moyenne de l'EEN dans le bassin de la rivière Stewart n'est estimée qu'à **76 %** de la **médiane historique**, soit **115 mm** en date du 1^{er} mars (figure B).



Les précipitations mensuelles enregistrées à l'aéroport de Mayo durant l'automne et l'hiver sont toutes largement **sous** la **moyenne** (figure C). Les degrés-jours de gel cumulés (DJGC) sont **en deçà** de la **moyenne**, soit 2 260 DJGC, ce qui correspond à un hiver **plus doux qu'à l'habitude** (figure D) et laisse présager un couvert de glace **plus mince** sur les lacs et les rivières.

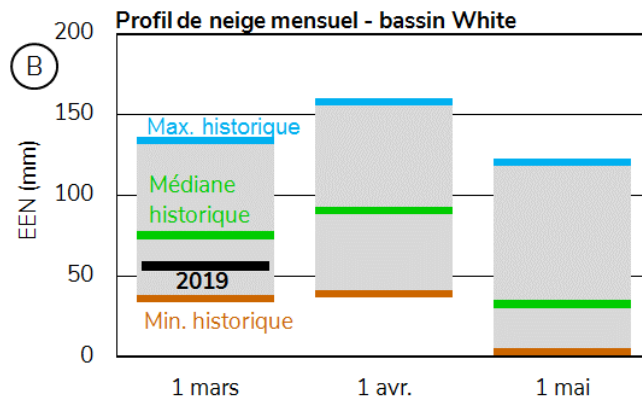


Le débit estimé à l'embouchure de la rivière Stewart est légèrement **au-dessus de** la **moyenne historique** (figure E). Il est trop tôt dans la saison pour établir si les niveaux d'eau de **2019** seront élevés, mais l'accumulation de neige **moindre** que la **moyenne** porte à croire que le **volume de la crue printanière** pourrait être **plus faible** que la **moyenne**.

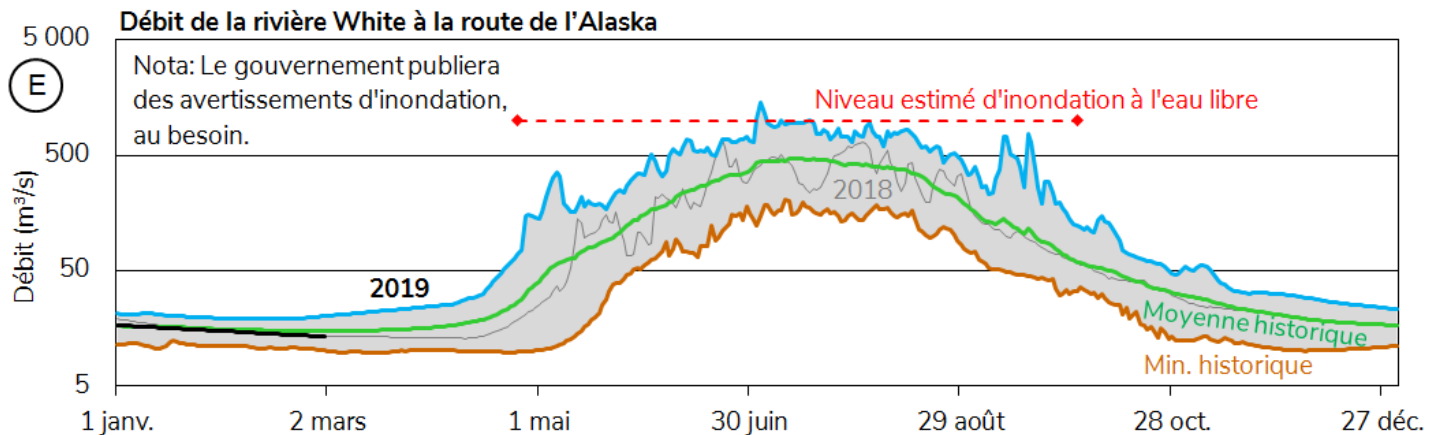


BASSIN DE LA RIVIÈRE WHITE

La moyenne de l'EEN dans le bassin de la rivière White est estimée à **71 %** de la **médiane historique**, soit **56 mm** en date du 1^{er} mars (figure B).

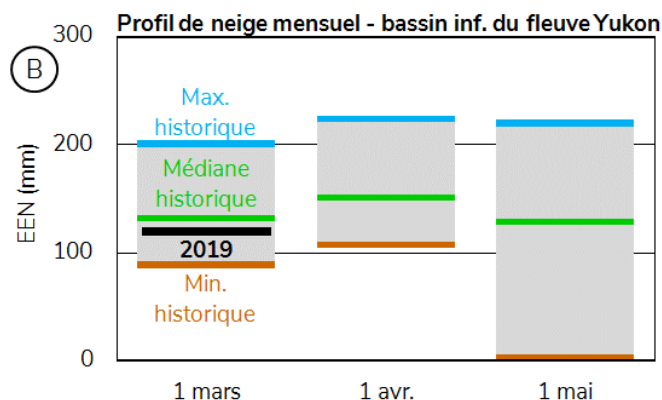


Le débit estimé de la rivière White à la route de l'Alaska est légèrement **en deçà de** la **moyenne historique** (figure E). Les débits les plus élevés dans ce bassin versant dépendent surtout de la fonte de la neige en montagne et des glaciers, laquelle est influencée par les conditions météorologiques estivales. L'accumulation de neige **moindre** que la **moyenne** porte actuellement à croire que le **volume de la crue printanière** pourrait être **plus faible** que la **moyenne**.

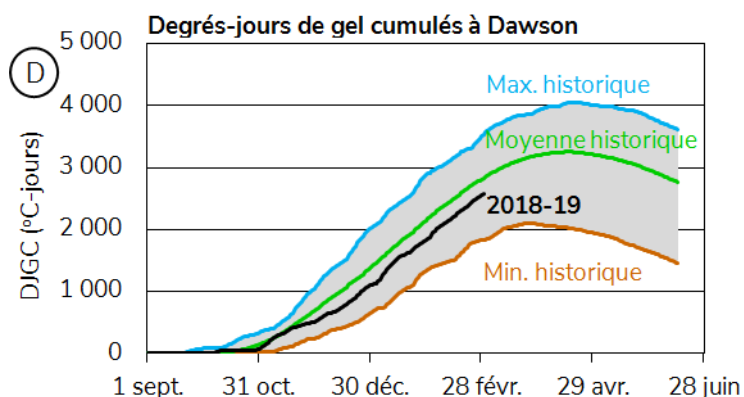
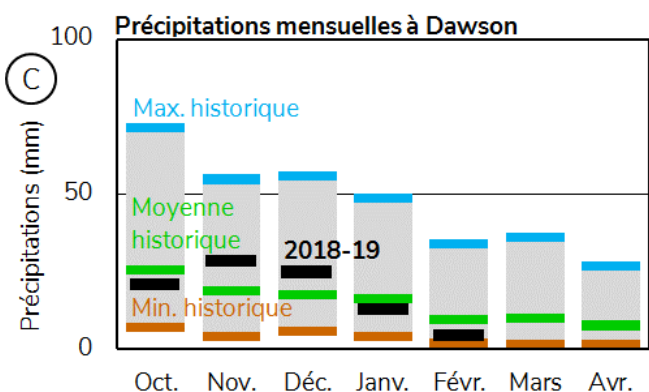


BASSIN INFÉRIEUR DU FLEUVE YUKON (RÉGION DE DAWSON)

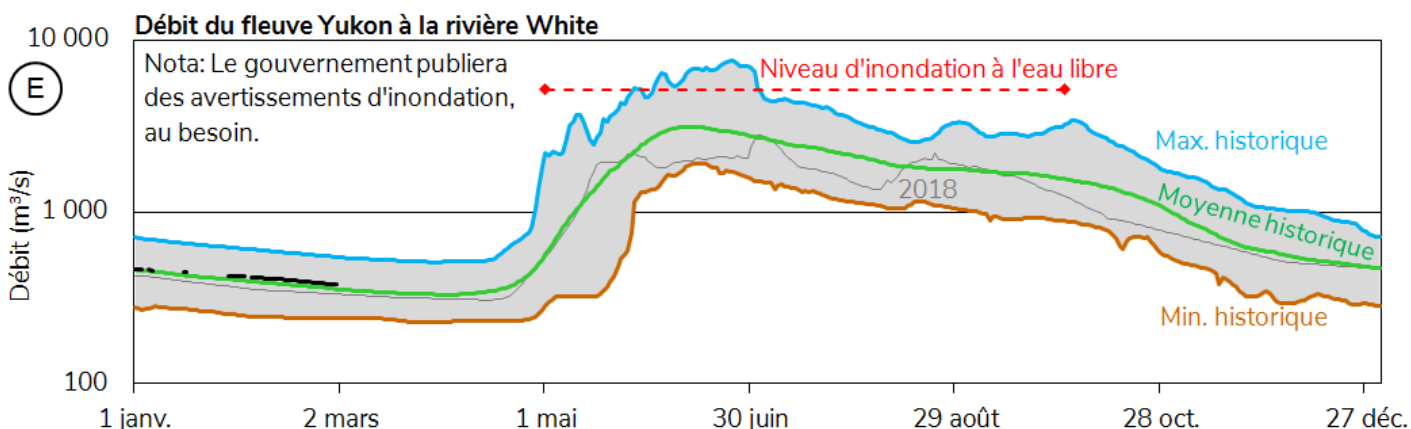
La moyenne de l'EEN dans le bassin inférieur du fleuve Yukon est estimée à **89 %** de la **médiane historique**, soit **119 mm** en date du 1^{er} mars (figure B).



Les précipitations mensuelles enregistrées à l'aéroport de Dawson durant l'automne et l'hiver sont généralement **près de la moyenne** (figure C). Les degrés-jours de gel cumulés (DJGC) sont légèrement **en deçà** de la **moyenne**, soit à 2 560 DJGC, ce qui correspond, dans l'ensemble, à un **hiver dans la moyenne** (figure D) et indique que l'épaisseur du couvert de glace correspond également à **la moyenne**.

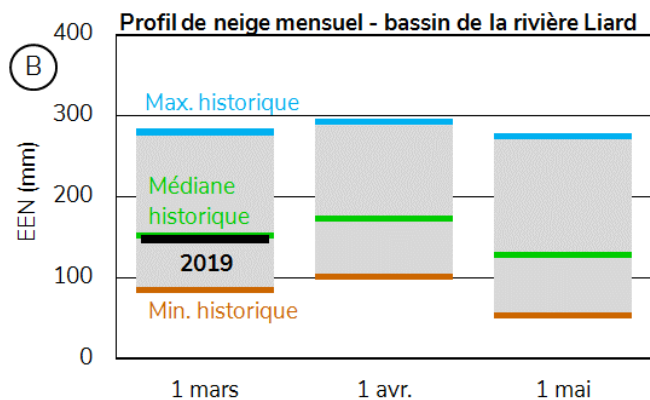


Le débit estimé du fleuve Yukon à la rivière White est actuellement **au-dessus** de la **moyenne historique** (figure E). Il est trop tôt dans la saison pour établir si les niveaux d'eau de **2019** seront élevés, mais l'accumulation de neige **moindre** que la **moyenne** dans tous les bassins en amont porte à croire que le **volume de la crue printanière** pourrait être **plus faible** que la **moyenne**.

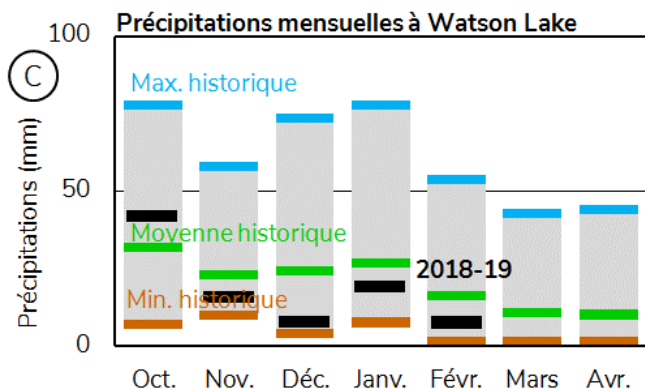


BASSIN DE LA RIVIÈRE LIARD

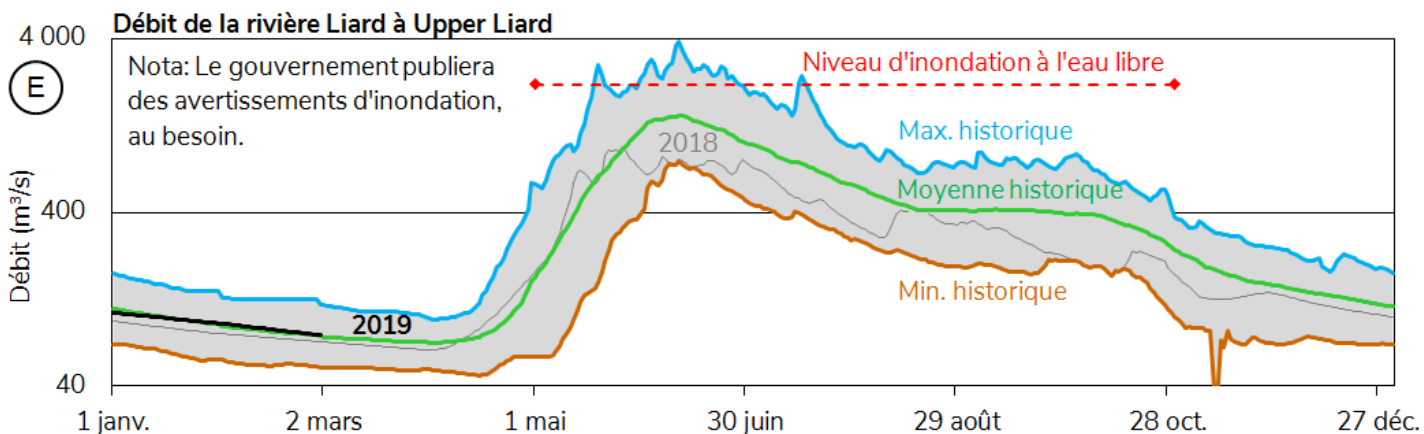
La moyenne de l'EEN dans le bassin de la rivière Liard est estimée à **94 %** de la **médiane historique**, soit **147 mm** en date du 1^{er} mars (figure B).



Les précipitations mensuelles enregistrées à l'aéroport de Watson Lake durant l'automne et l'hiver sont globalement **inférieures** à la **moyenne** (figure C).

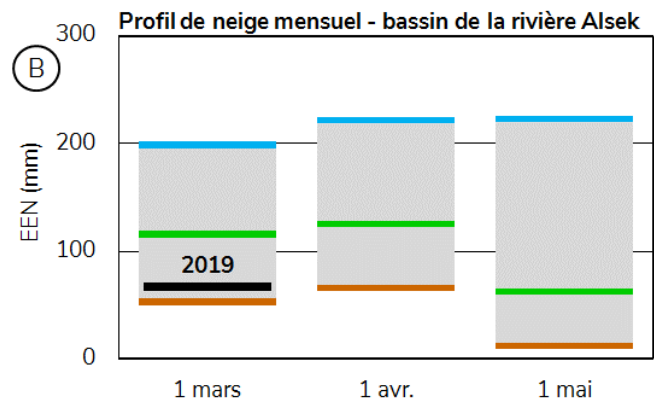


Le débit estimé de la rivière Liard à Upper Liard est légèrement **sous** la **moyenne historique** (figure E). Il est trop tôt dans la saison pour établir si les niveaux d'eau de **2019** seront élevés, mais l'accumulation de neige **près de la moyenne** et le débit estimé portent à croire que le **volume de la crue printanière** pourrait se situer dans la **moyenne**.

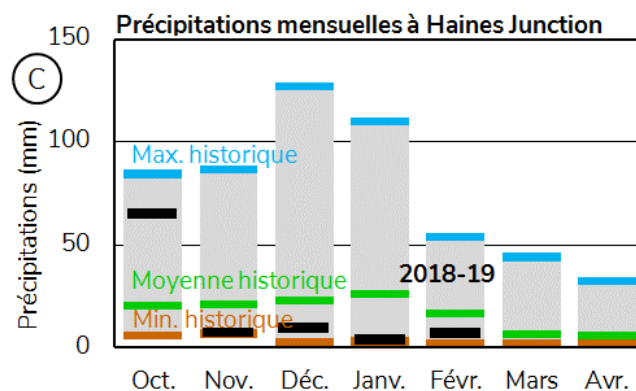


BASSIN DE LA RIVIÈRE ALSEK

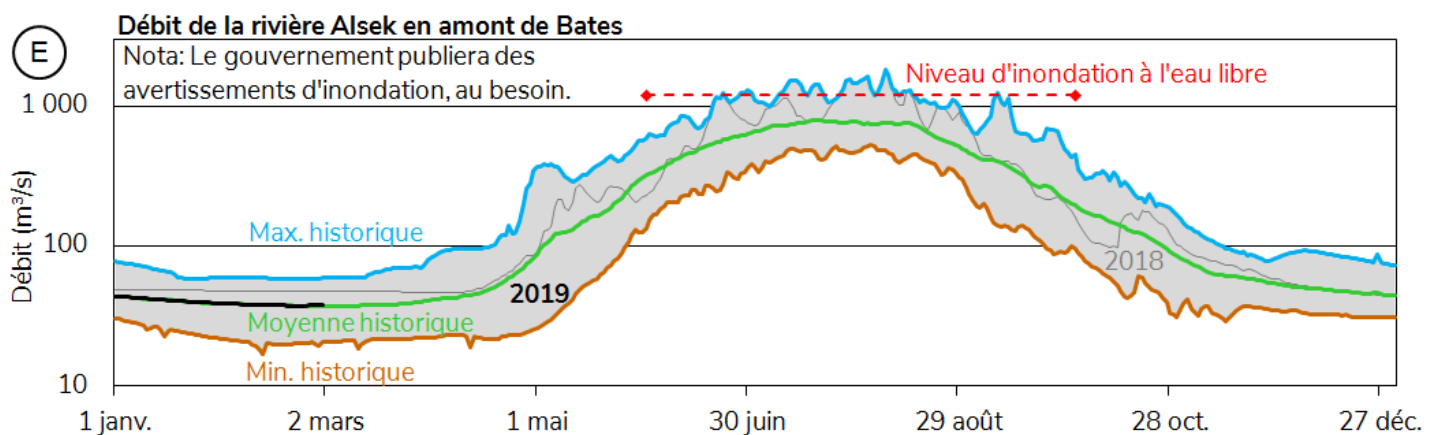
La moyenne de l'EEN dans le bassin de la rivière Alsek est estimée à **56 %** de la **médiane historique**, soit **66 mm** en date du 1^{er} mars (figure B).



Les précipitations mensuelles enregistrées à Haines Junction sont toutes **inférieures** à la **moyenne**, hormis celles d'octobre (figure C).

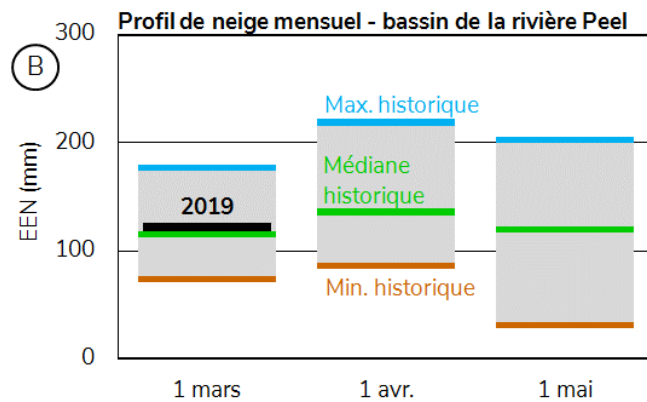


Le débit estimé de la rivière Alsek est actuellement **près de la moyenne historique** (figure E). Les débits les plus élevés dans ce bassin versant dépendent surtout de la fonte de la neige en montagne et des glaciers, laquelle est influencée par les conditions météorologiques estivales. En conséquence, les données sur la neige présentées ci-dessus ne sont que des indicateurs partiels des débits estivaux.

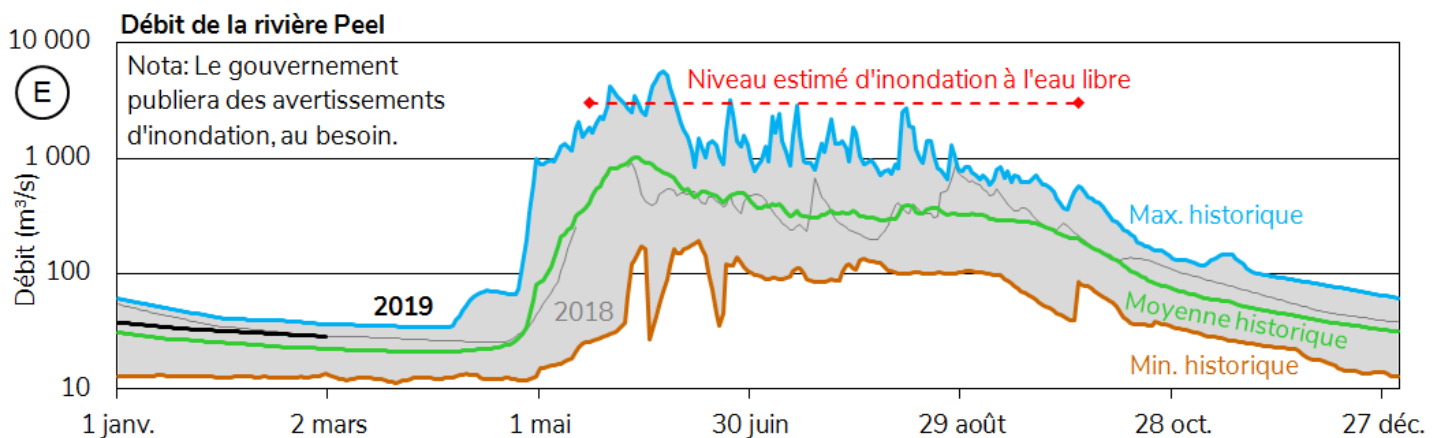


BASSIN DE LA RIVIÈRE PEEL

La moyenne de l'EEN dans le bassin de la rivière Peel est estimée à **103 %** de la **médiane historique**, soit **122 mm** en date du 1^{er} mars (figure B).

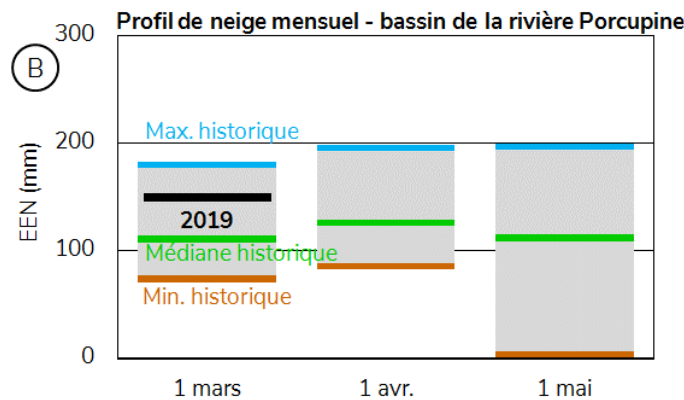


Le débit estimé de la rivière Peel le 28 février était légèrement **au-dessus** de la **moyenne historique** (figure E). Il est trop tôt dans la saison pour établir si les niveaux d'eau de **2019** seront élevés, mais l'accumulation de neige près de la **moyenne** et le débit estimé portent à croire que le **volume de la crue printanière** pourrait se situer dans la **moyenne**.

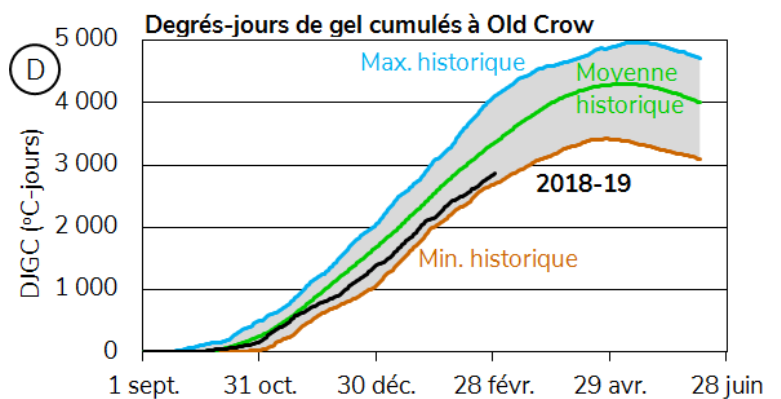
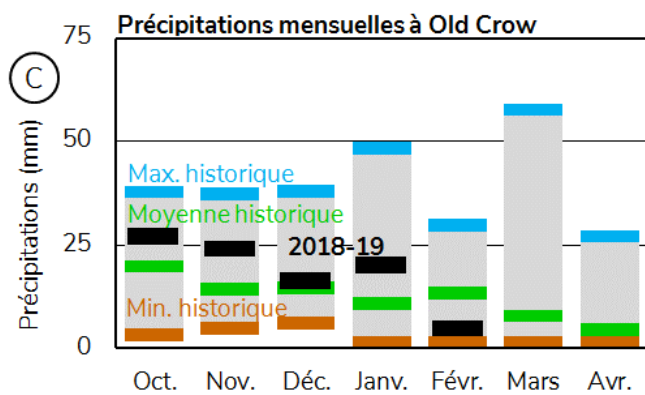


BASSIN DE LA RIVIÈRE PORCUPINE

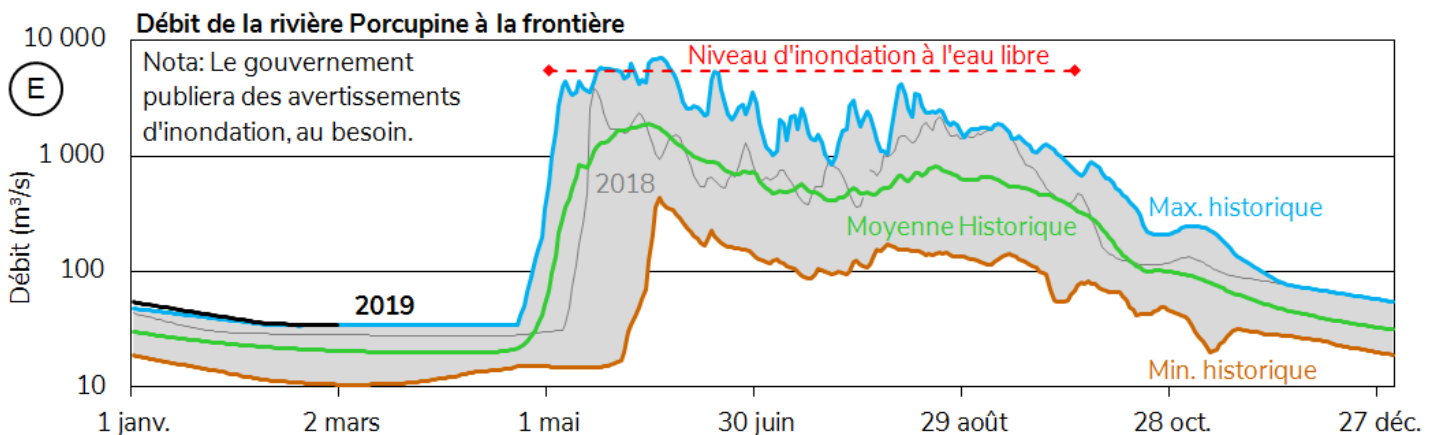
La moyenne de l'EEN dans le bassin de la rivière Porcupine est estimée à **132 %** de la **médiane historique**, soit **150 mm** en date du 1^{er} mars (figure B).



Les précipitations mensuelles enregistrées à Old Crow durant l'automne et l'hiver sont globalement **supérieures** à la **moyenne** (figure C). Les degrés-jours de gel cumulés (DJGC) sont **en deçà** de la **moyenne**, soit à 2 850 DJGC, ce qui correspond à un hiver **plus doux qu'à l'habitude** (figure D) et laisse présager un couvert de glace **plus mince** sur les lacs et les rivières.



Le débit estimé de la rivière Porcupine est actuellement **au-dessus** de la **moyenne historique** (figure E). Il est trop tôt dans la saison pour établir si les niveaux d'eau de **2019** seront élevés, mais l'accumulation de neige **supérieure** à la **moyenne** et le débit estimé portent à croire que le **volume de la crue printanière** pourrait être **supérieur** à la **moyenne**.



Bassin versant et profil de neige

Date d'échantillonnage : 2019-03-01

Nom	Numéro	Élévation (m)	Date du relevé	Épaisseur de la neige cette année (cm)	Contenu en eau (EEN) (mm)	Année dernière (mm)	Médiane historique EEN (mm)	N ^{bre} d'années de données
Bassin de la rivière Alsek								
Canyon Lake	08AA-SC01	1160	2019-02-26	26	38	82	81	41
Alder Creek	08AA-SC02	768	2019-02-26	48	86	145	136	38
Aishihik Lake	08AA-SC03	945	2019-02-26	24	32	70	69	25
Haines Junction Farm	08AA-SC04	610	2019-03-01	16	27	66	95	19
Summit	08AB-SC03	1000	2019-03-01	63	148	144	230	39
Bassin du fleuve Yukon								
Tagish	09AA-SC01	1080	2019-02-26	47	70	163	126	44
Montana M.	09AA-SC02	1020	2019-02-27	41	72	144	131	43
Log Cabin (C.-B.)	09AA-SC03	884	2019-02-25	92	232	247	320	58
Atlin (C.-B.)	09AA-SC04	730	2019-02-26	35	66	70	99	53
Mt McIntyre B	09AB-SC01B	1097	2019-02-28	52	97	150	134	43
Whitehorse A	09AB-SC02	700	2019-02-27	28	40	108	91	54
Meadow Creek	09AD-SC01	1235	2019-02-26	77	120	208	243	42
Jordan Lake	09AD-SC02	930	2019-02-27	53	82	103	122	29
Morley Lake	09AE-SC01	824	2019-02-27	52	82	118	129	30
Mount Berdoe	09AH-SC01	1035	2019-02-28	37	56	87	95	43
Satasha Lake	09AH-SC03	1106	2019-02-28	30	46	79	80	31
Williams Creek	09AH-SC04	914	2019-02-28	34	49	77	80	22
Twin Creeks B	09BA-SC02B	900	2019-02-26	63	113	118	161	2
Hoole River	09BA-SC03	1036	2019-02-27	53	84	109	116	40
Burns Lake	09BA-SC04	1112	2019-02-27	89	195	153	194	30
Finlayson Airstrip	09BA-SC05	988	2019-02-27	54	99	105	86	32
Fuller Lake	09BB-SC03	1126	2019-02-26	78	146	116	173	29
Russell Lake	09BB-SC04	1060	2019-02-26	79	145	175	193	31
Rose Creek	09BC-SC01	1080	2019-02-28	52	73	104	95	24
Mount Nansen	09CA-SC01	1021	2019-02-28	29	39	70	67	42
MacIntosh	09CA-SC02	1160	2019-02-28	35	47	106	77	42
Burwash Airstrip	09CA-SC03	810	2019-03-01	20	33	42	40	42
Beaver Creek	09CB-SC01	655	2019-03-01	40	45	98	63	44
Chair Mountain	09CB-SC02	1067	2019-02-27	48	71	130	77	25
Casino Creek	09CD-SC01	1065	2019-02-28	49	65	130	107	40
Pelly Farm	09CD-SC03	472	2019-02-28	26	31	68	76	32
Plata Airstrip	09DA-SC01	830	2019-02-26	65	129	132	161	37
Withers Lake	09DB-SC01	975	2019-02-26	74	144	160	188	31
Rackla Lake	09DB-SC02	1040	2019-02-26	73	138	99	159	28

Bassin versant et profil de neige

Date d'échantillonnage : 2019-03-01

Nom	Numéro	Élévation (m)	Date du relevé	Épaisseur de la neige cette année (cm)	Contenu en eau (mm)	Année dernière (mm)	Contenu en eau moyen	N ^{bre} d'années de données
Bassin du fleuve Yukon								
Mayo Airport A	09DC-SC01A	540	2019-02-28	41	68	48	92	48
Mayo Airport B	09DC-SC01B	540	2019-02-28	36	60	65	93	29
Edwards Lake	09DC-SC02	830	2019-02-26	53	87	101	137	30
Calumet	09DD-SC01	1310	2019-02-26	63	130	142	171	41
King Solomon Dome	09EA-SC01	1080	2019-03-01	62	116	140	146	44
Grizzly Creek	09EA-SC02	975	2019-02-27	73	138	118	146	43
Midnight Dome	09EB-SC01	855	2019-02-26	66	119	149	135	43
Boundary (Alaska)	09EC-SC02	1005	2019-03-01	58	114	N.S.	113	42
Bassin de la rivière Porcupine								
Riff's Ridge	09FA-SC01	650	2019-02-27	74	143	146	129	32
Eagle Plains	09FB-SC01	710	2019-02-27	87	192	223	143	36
Eagle River	09FB-SC02	340	2019-02-27	81	145	162	107	35
Old Crow	09FD-SC01	299	Aucun relevé			115 E	107	28
Bassin de la rivière Liard								
Watson Lake Airport	10AA-SC01	685	2019-02-28	54	90	119	118	54
Tintina Airstrip	10AA-SC02	1067	2019-02-27	79	155	179	182	38
Pine Lake Airstrip	10AA-SC03	995	2019-02-27	77	144	158	187	42
Ford Lake	10AA-SC04	1110	2019-02-27	72	149	164	162	29
Frances River	10AB-SC01	730	2019-02-28	64	116	104	135	43
Hyland River	10AD-SC01	855	2019-02-27	74	155	131	152	43
Hyland River B	10AD-SC01B	880	2019-02-27	79	173	143	158	1
Bassin de la rivière Peel								
Blackstone River	10MA-SC01	920	2019-02-27	52	83	84	84	43
Ogilvie River	10MA-SC02	595	2019-02-27	61	106	77	89	43
Bonnet Plume Lake	10MB-SC01	1120	2019-02-26	64	115	113	144	28
Profils de neige en Alaska								
Eaglecrest	08AK-SC01	305	2019-02-26	81	188	135	433	36
Moore Creek Bridge	08AK-SC02	700	2019-03-01	132 E	434 E	152	454	26

Code « E » – Estimé; code « B » – la date du relevé est en dehors de la plage d'échantillonnage valide.

